## =химия ====

УДК 544.478

Статья посвящается юбилею члена-корреспондента РАН Усеина Меметовича Джемилева

# КРИСТАЛЛИЗАЦИЯ СИЛИКОАЛЮМОФОСФАТНОГО МОЛЕКУЛЯРНОГО СИТА SAPO-5 ИЗ РЕАКЦИОННЫХ ГЕЛЕЙ С РАЗЛИЧНЫМ СООТНОШЕНИЕМ SiO<sub>2</sub>/Al<sub>2</sub>O<sub>3</sub> И ЕГО ПРИМЕНЕНИЕ В ГИДРОИЗОМЕРИЗАЦИИ *н*-ГЕКСАДЕКАНА

© 2025 г. Д. В. Серебренников<sup>1,\*</sup>, Н. А. Филиппова<sup>1</sup>, А. И. Малунов<sup>1</sup>, Р. З. Куватова<sup>1</sup>, О. С. Травкина<sup>1</sup>, Б. И. Кутепов<sup>1</sup>, М. Р. Аглиуллин<sup>1</sup>

Поступило 26.06.2025 г. После доработки 24.07.2025 г. Принято к публикации 30.07.2025 г.

Микропористые силикоалюмофосфатные молекулярные сита SAPO-5 рассматриваются как перспективные кислотные катализаторы для превращения углеводородов. Однако их эффективность ограничена диффузионными затруднениями, которые можно минимизировать уменьшением размера кристаллов и оптимизацией кислотных свойств. Методами РФлА, РФА, СЭМ, адсорбции—десорбции  $N_2$ , ТПД-NH $_3$  и ИК-спектроскопии исследовано влияние исходного соотношения  $SiO_2/Al_2O_3$  в геле на структурно-кислотные характеристики SAPO-5. Установлено, что увеличение содержания кремния снижает размер кристаллов и повышает внешнюю удельную поверхность. Концентрация бренстедовских кислотных центров близка к максимуму при  $SiO_2/Al_2O_3 = 0.3$ , что указывает на ограниченное внедрение Si в каркас. В реакции гидроизомеризации  $\mu$ -гексадекана максимальная активность и селективность по изопарафинам достигаются на образце Pt/SAPO-5 с наименьшим размером кристаллов (200-300 нм), высокой кислотностью (концентрация бренстедовских кислотных центров составляет 137 мкмоль  $r^{-1}$ ) и высокой степенью кристалличности (не менее 90%). Полученные данные подтверждают возможность управления структурой и кислотными свойствами материала за счет регулирования состава исходного геля.

*Ключевые слова:* молекулярные сита, силикоалюмофосфат SAPO-5, высокодисперсные кристаллы, Pt-катализаторы, гидроизомеризация *н*-парафинов

**DOI:** 10.7868/S3034511125040031

## **ВВЕДЕНИЕ**

Силикоалюмофосфатные молекулярные сита SAPO-*n* находят все более широкое применение в промышленных процессах нефтепереработки и нефтехимии благодаря своей регулируемой кислотности, а также высокой термической и гидротермической стабильности [1, 2]. Так, на основе SAPO-11 реализованы технологии изодепарафинизации масляных фракций, направленные на производство высококачественных смазочных материалов [3], тогда как SAPO-34 стал ключевым катализатором в процессе получения низших олефинов из метанола (MTO, *Methanol-To-Olefins*) — одной из наиболее успешных каталитических технологий последних десятилетий [4].

Многообразие структур SAPO-*n* обуславливает их уникальную функциональность. Варьируя состав и условия синтеза, можно получать материалы с различными размерами пор (например,  $3.8 \times 3.8$  Å для SAPO-18,  $7.3 \times 7.3$  Å для SAPO-5 и  $7.9 \times 8.7 \,\text{Å}$  для SAPO-8), а также разной пространственной организацией каналов: одномерной (1D, SAPO-11), двухмерной (2D, SAPO-40) и трехмерной (3D, SAPO-37) [5]. Среди всего многообразия SAPO-структур особое внимание заслуживает SAPO-5 (структурный тип AFI), обладающий одномерной системой каналов с эффективным диаметром ~7.4 Å. Такая топология поровой системы делает его перспективным кандидатом для реакций, где важны как доступность активных центров, так и ограничения, связанные с диффузией реагентов и продуктов [6-8].

Кислотные молекулярные сита SAPO-5 являются перспективными для применения в катализе, адсорбции и разделении газов [9]. Они

<sup>&</sup>lt;sup>1</sup>Институт нефтехимии и катализа Уфимского федерального исследовательского центра Российской академии наук, 450054 Уфа, Россия \*E-mail: d25c25@yandex.ru

эффективны в реакциях изомеризации ксилолов, алкилирования толуола, перегруппировки Бекмана, крекинга ароматических соединений, а также в превращении метанола в углеводороды (МТН, Methanol-To-Hydrocarbons), синтезе кумола [10—16], в разложении органических загрязнителей, таких как метилоранж [17], и в фотовосстановлении  $CO_2$  до метана [18].

Кроме того, молекулярные сита SAPO-5 используются как носители для металлокатализаторов, например: Ni/SAPO-5 применяется в частичном окислении метана до синтез-газа ( $CO + H_2$ ) [19].

Помимо этого, они эффективны в адсорбционных процессах как селективные сорбенты для удаления ионов тяжелых металлов [20] и разделения газовых смесей, включая  $N_2$ ,  $CO_2$ ,  $CH_4$  и  $H_2O$  [21—27].

Кислотные свойства SAPO-5 формируются за счет внедрения атомов кремния в алюмофосфатную решетку по известным механизмам замещения SM (Substitution Mechanism) [1, 28]. При реализации механизма SM2 происходит "одиночное" изоморфное замещение атомов фосфора кремнием, что приводит к образованию бренстедовских кислотных центров. Механизм SM2 + SM3 предполагает формирование так называемых "силикатных островков", внутри которых Si окружен другими атомами кремния, а активные кислотные центры локализуются преимущественно на их границах. Управление соотношением между этими механизмами открывает возможность целенаправленного изменения как концентрации, так и силы кислотных центров в SAPO-материалах.

В научной литературе описано несколько подходов к контролю распределения кремния и, как следствие, кислотных характеристик SAPO-5. Один из них связан с выбором источника кремния и его физико-химическими свойствами [14, 29], другой — с модификацией темплатной системы, включая природу и количество используемого органического структурообразующего агента [30, 31].

Однако, несмотря на обширные исследования, комплексное влияние исходного соотношения  $SiO_2/Al_2O_3$  в реакционном геле на структурно-текстурные и кислотные свойства SAPO-5 до сих пор недостаточно изучено. Между тем, как было показано ранее, этот параметр может существенно влиять не только на кислотные свойства, но и на морфологию, дисперсность и вторичную пористую структуру кристаллов — факторы, которые

напрямую определяют каталитическую эффективность материала [14].

Ранее мы продемонстрировали, что использование золя  $SiO_2$  со средним размером частиц 4 нм и регулирование соотношения  $SiO_2/Al_2O_3$  позволяет эффективно управлять морфологией и размером кристаллов SAPO-11 [32—35]. Было установлено, что кремний внедряется в каркас лишь частично, что приводит к изменению концентрации кислотных центров, достигающих максимума при определенном составе геля.

В продолжение этих исследований нами была поставлена задача изучить закономерности кристаллизации SAPO-5 в условиях, аналогичных описанным в работах [32—35], включая применение наноразмерного золя  $SiO_2$  и вариацию соотношения  $SiO_2/Al_2O_3$ . Цель работы — установить взаимосвязь между составом реакционного геля, особенностями внедрения кремния, морфологией кристаллов и результирующими структурно-кислотными и каталитическими свойствами Pt/SAPO-5.

### ЭКСПЕРИМЕНТАЛЬНАЯ ЧАСТЬ

В качестве исходных реагентов применяли: ортофосфорную кислоту  $H_3PO_4$  (85%; Реахим, Россия) как источник фосфора, бемит (**BM**) (78%; КНТ Групп, Россия) в качестве источника алюминия, коллоидный золь  $SiO_2$  со средним размером частиц ~4 нм, полученный золь-гель методом [36] в роли источника кремния.

Синтез SAPO-5. Силикоалюмофосфатные молекулярные сита SAPO-5 были синтезированы гидротермальным методом из реакционных гелей состава: 1.0Al<sub>2</sub>O<sub>3</sub>·1.0P<sub>2</sub>O<sub>5</sub>·(0.0-0.5)SiO<sub>2</sub>·1.0ТЭА·40H<sub>2</sub>O, где ТЭА — триэтиламин, используемый в качестве органического структурообразующего агента (темплата). При комнатной температуре к 10.0 г Н₃РО₄ приливали 20.0 г деионизованной воды, после чего добавляли 4.4 г триэтиламина и перемешивали смесь в течение 1 ч до полного растворения амина. Далее при постоянном перемешивании порциями вводили 5.6 г бемита, обеспечивая формирование однородного алюмофосфатного золя. На заключительном этапе подготовки реакционной массы в систему добавляли рассчитанное количество золя  $SiO_2$ , соответствующее заданному соотношению SiO<sub>2</sub>/Al<sub>2</sub>O<sub>3</sub>. Полученные реакционные гели интенсивно перемешивали на магнитной мешалке со скоростью 60 об. мин $^{-1}$  в течение 1 ч для достижения максимальной гомогенности, затем выдерживали при 90°C в течение 24 ч для предварительного

старения. Ранее было установлено, что проведение предварительной стадии старения позволяет избежать образование непористого тридимита [1]. После этого гели переносили в автоклавы из нержавеющей стали, оснащенные тефлоновой футеровкой, и подвергали кристаллизации при 200°С в течение 24 ч. Указанная температура является оптимальной для кристаллизации молекулярных сит SAPO-*n* [1]. После завершения синтеза твердые продукты отделяли центрифугированием, многократно промывали деионизованной водой до достижения нейтрального значения рН фильтрата, после чего сушили при 90°С в течение 24 ч.

Для удобства идентификации образцы реакционных гелей с различным содержанием  $SiO_2$  были обозначены как  $AlPO_4$ , SAPO(0.1), SAPO(0.3) и SAPO(0.5), где цифра в скобках соответствует мольному отношению  $SiO_2/Al_2O_3$ . Полученные на их основе кристаллические образцы силикоалюмофосфатов обозначали, соответственно, как  $AlPO_4$ -5, SAPO-5(0.1), SAPO-5(0.3) и SAPO-5(0.5). Полученные образцы прокаливали при  $600^{\circ}$ С в течение 6 ч.

Методы анализа и характеристики материалов. Химический состав реакционных гелей и полученных продуктов кристаллизации оценивали методом рентгенофлуоресцентной спектроскопии (РФлА) на приборе Shimadzu EDX-7000Р (Япония) с использованием программного обеспечения на основе фундаментальных параметров.

Кристаллическую структуру непрокаленных образцов SAPO-5 исследовали методом порошковой рентгеновской дифракции (**PФA**) на дифрактометре Shimadzu XRD-7000 с  $CuK_{\alpha}$ -излучением. Сканирование проводилось в диапазоне углов 20 от 5° до 40° с шагом 1° мин<sup>-1</sup>. Фазовый анализ выполняли с использованием базы данных PDF2 (International Centre for Diffraction Data). Значение кристалличности рассчитывали как отношение суммы площадей пиков выбранных кристаллических рефлексов к общей сумме площадей этих пиков и площади аморфного гало в диапазоне углов 20 от 20° до 30° с использованием программы XRD Crystallinity.

Морфологию и размер кристаллов SAPO-5 изучали методом сканирующей электронной микроскопии (**C9M**) с полевой эмиссией на микроскопе Hitachi Regulus SU8220 (Япония). Изображения регистрировали в режиме вторичных электронов при ускоряющем напряжении 5 кВ, что позволило получить детализированные данные о форме, размере и степени агрегации частиц.

Удельную поверхность, объем микро- и мезопор прокаленных образцов (600°С, 6 ч) определяли методом низкотемпературной адсорбции—десорбции азота на установке Quantachrome Nova 1200е (США). Удельную поверхность рассчитывали по модели БЭТ с использованием многоточечного подхода. Объем микропор в условиях наличия мезопорной структуры и внешнюю удельную поверхность оценивали методом t-Plot; распределение пор по размерам строили по модели ВЈН (Halenda) с учетом ветви десорбции.

Для количественной оценки концентрации бренстедовских (1545 см $^{-1}$ ) и льюисовских (1454 см $^{-1}$ ) кислотных центров использовали ИК-спектроскопию с адсорбированным пиридином на приборе Bruker Vertex-70V (Германия) с разрешением 4 см $^{-1}$ . Предварительно образцы прокаливали при 450°С в вакууме. Затем пиридин адсорбировали при 2  $\times$  10 $^2$  Па. Десорбцию физически сорбированного пиридина проводили при 150°С в вакууме. Для расчета концентрации бренстедовских и льюисовских кислотных центров использовали коэффициенты молярной экстинкции из литературы [37].

Дополнительно проводили температурнопрограммированную десорбцию аммиака (**ТПД-NH**<sub>3</sub>) на установке AMI-400TPx (KHP) для анализа распределения кислотных центров по силе: слабые ( $100-250^{\circ}$ C), умеренные ( $250-400^{\circ}$ C) и сильные ( $400-600^{\circ}$ C); скорость нагрева  $10^{\circ}$ C мин<sup>-1</sup>.

Приготовление бифункциональных катализаторов. Бифункциональные катализаторы состава Pt/SAPO-5 готовили пропиткой по водопоглощению. Предварительно прокаленные образцы SAPO-5 ( $600^{\circ}C$ , 6 ч) пропитывали водным раствором  $H_2PtCl_6\cdot 6H_2O$  с доведением содержания платины до 0.5 мас. % с последующей термообработкой при  $100^{\circ}C$  (24 ч),  $550^{\circ}C$  (5 ч) и активировали в токе водорода при  $400^{\circ}C$  (5 ч).

Испытание в реакции гидроизомеризации н-гексадекана. Активность полученных катализаторов оценивали в реакции гидроизомеризации  $\mu$ -гексадекана на проточной установке при температуре  $280-360^{\circ}$ С, давлении 3.0 МПа, мольном соотношении  $H_2/\mu$ - $C_{16}H_{34}=10$  и массовой скорости подачи сырья (WHSV, Weight Hour Space Velocity)  $2 \, \mathrm{u}^{-1}$ . Продукты реакции анализировали методом газожидкостной хроматографии на хроматографе Хроматэк Кристалл 5000 (Россия) с капиллярной колонкой на основе диметилполисилоксана ( $50 \, \mathrm{m} \times 0.2 \, \mathrm{mm}$ ).

Конверсию X H-гексадекана, селективность S и выход Y продуктов гидроконверсии H-гексадекана рассчитывали по формулам (1)—(3):

$$X = \frac{m(nC_{16})_0 - m(nC_{16})}{m(nC_{16})_0} \times 100, \tag{1}$$

$$S_i = \frac{m_i}{m(nC_{16})_0 - m(nC_{16})} \times 100,$$
 (2)

$$Y_i = \frac{X S_i}{100},\tag{3}$$

где  $m(nC_{16})_0$  и  $m(nC_{16})$  — масса n-гексадекана до и после реакции соответственно;  $m_i$  — масса продуктов гидроизомеризации или гидрокрекинга гексадекана.

# РЕЗУЛЬТАТЫ И ИХ ОБСУЖДЕНИЕ

Как известно из литературы, кислотные свойства молекулярных сит семейства SAPO-*n* тесно связаны с содержанием кремния в каркасе [38]. В табл. 1 представлены химические составы исходных реакционных гелей и продуктов кристаллизации. Анализ данных показывает, что содержание SiO<sub>2</sub> в конечных образцах всегда ниже, чем в исходном геле, независимо от его начальной концентрации. Полученные результаты свидетельствуют о частичном внедрении кремния в каркас SAPO-5, при этом значительная часть кремния остается в маточном растворе. Наблюдается значительное замедление роста содержания кремния в продуктах синтеза при увеличении соотношения SiO<sub>2</sub>/Al<sub>2</sub>O<sub>3</sub> выше 0.3 в исходном геле. Разница в содержании кремния между образцами, синтезированными при соотношениях  $SiO_2/Al_2O_3 = 0.3$  и 0.5, оказалась незначительной (табл. 1), что может указывать на приближение к пределу внедрения кремния в решетку SAPO-5.

На рис. 1 представлены порошковые рентгенограммы синтезированных образцов SAPO-5. Все образцы демонстрируют высокую фазовую чистоту и соответствуют структурному типу AFI. Тем не менее, с увеличением содержания кремния в исходном геле наблюдается снижение степени кристалличности. При мольном соотношении  $SiO_2/Al_2O_3 = 0.5$  степень кристалличности составила 82%. Это снижение обусловлено преимущественным внедрением дополнительного кремния в каркас молекулярного сита по механизмам SM2 и SM3 при достижении порогового соотношения  $SiO_2/Al_2O_3 = 0.3$  и его превышении. Такое внедрение приводит к образованию так называемых "силикатных островков", что может вызывать нарушения в регулярности кристаллической решетки и снижать общую степень упорядоченности структуры [1, 28].

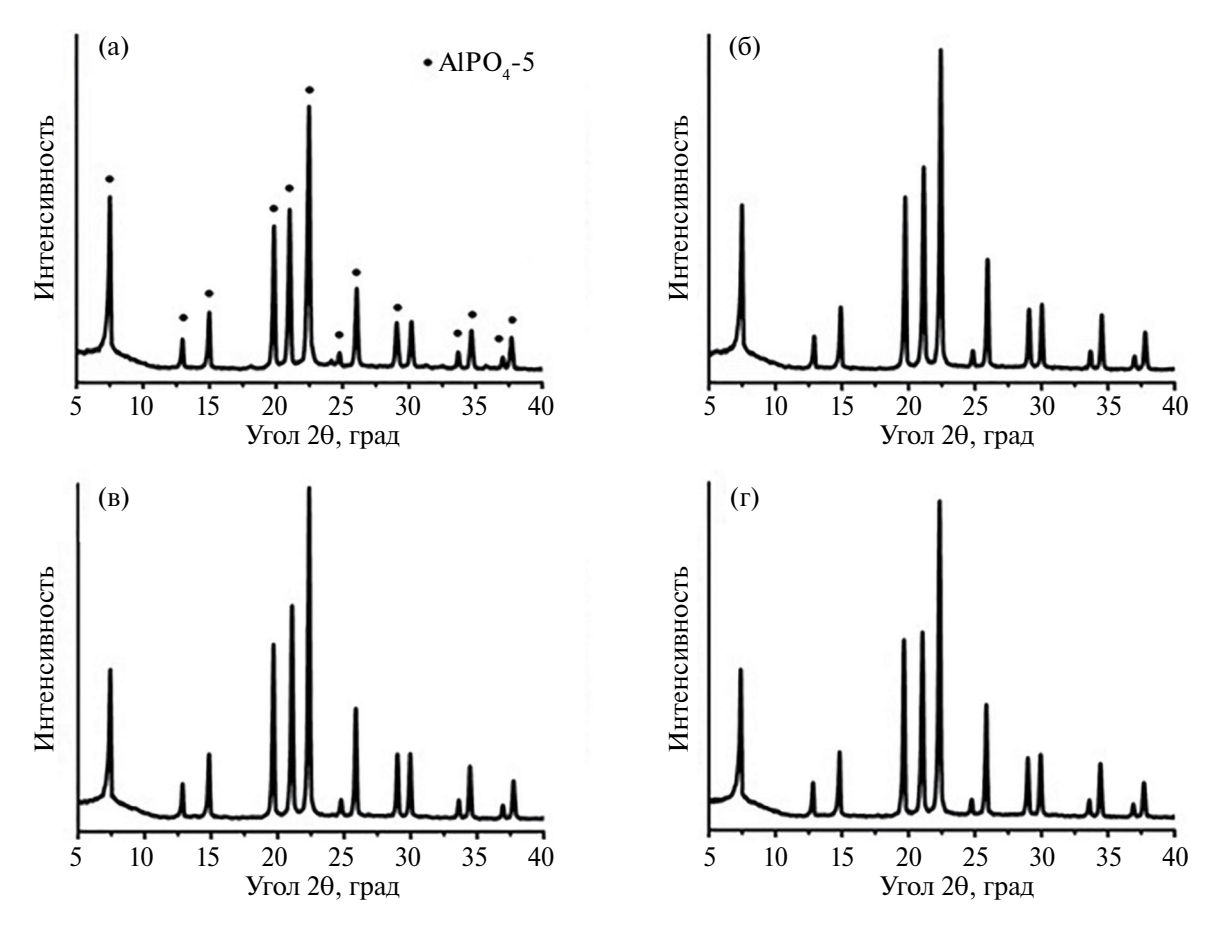
Как уже отмечалось ранее, каталитические свойства SAPO-5 зависят не только от кислотных характеристик, но также от морфологии, размера кристаллов и их текстурных параметров. На рис. 2 представлены СЭМ-изображения образцов SAPO-5, синтезированных при различных соотношениях SiO<sub>2</sub>/Al<sub>2</sub>O<sub>3</sub>, что позволило изучить влияние содержания кремния на морфологию и размер кристаллов. Анализ изображений показывает, что во всех случаях формируются кристаллы шестигранной призматической формы — характерная морфология для структурного типа AFI. Однако с изменением состава реакционного геля наблюдается систематическое изменение как размеров кристаллов, так и их однородности.

Образец AlPO<sub>4</sub>-5, не содержащий кремний, представляет собой крупные кристаллы размером 1-3 мкм (рис. 2a). Введение небольшого количества кремния ( $SiO_2/Al_2O_3=0.1$ ) приводит к снижению размера кристаллов до 0.5-1 мкм при сохранении общей призматической морфологии (рис. 2б). Это указывает на модифицирующее влияние кремния на процесс кристаллизации, связанное, вероятно, с изменением скорости зародышеобразования и последующего роста кристаллов.

Таблица 1. Химический состав исходных силикоалюмофосфатных гелей и продуктов их кристаллизации

Образец	Состав исходного геля, моль $Al_2O_3$ : $P_2O_5$ : $SiO_2$	Образец	Состав SAPO-5, моль Al <sub>2</sub> O <sub>3</sub> : P <sub>2</sub> O <sub>5</sub> : SiO <sub>2</sub>	KP, <sup>a</sup> %
AlPO <sub>4</sub>	1.00 : 0.99 : 0.00	AlPO <sub>4</sub> -5	1.00 : 0.99 : 0.00	99
SAPO(0.1)	1.00: 1.01: 0.10	SAPO-5(0.1)	1.00:0.98:0.08	95
SAPO(0.3)	1.00:0.99:0.29	SAPO-5(0.3)	1.00 : 0.91 : 0.26	92
SAPO(0.5)	1.00: 1.02: 0.50	SAPO-5(0.5)	1.00:0.95:0.29	82

 $<sup>{}^{</sup>a}KP$  — степень кристалличности.



**Рис. 1.** Рентгенограммы молекулярных сит AFI, синтезированных при различных соотношениях  $SiO_2/Al_2O_3$ : (a) AlPO<sub>4</sub>-5; (б) SAPO-5(0.1); (в) SAPO-5(0.3); (г) SAPO-5(0.5).

Дальнейшее увеличение содержания соотношения  $SiO_2/Al_2O_3$  до 0.3 приводит к значительному уменьшению размера кристаллов — до 200—300 нм (рис. 2в). При этом сохраняется шестигранная призматическая форма, свидетельствуя о том, что внедрение кремния не нарушает общий механизм роста кристаллов, но способствует формированию более мелких частиц. Увеличение соотношения  $SiO_2/Al_2O_3$  до 0.5 не приводит к дальнейшему изменению ни размера, ни морфологии кристаллов (рис. 2г), что может быть связано с насыщением каркаса кремнием и достижением предела его влияния на кристаллообразование.

Таким образом, установлено, что регулирование содержания кремния в реакционном геле позволяет управлять размером кристаллов SAPO-5. Такое изменение открывает возможность оптимизации диффузионных свойств материала и повышения его каталитической активности в реакциях с участием объемных молекул.

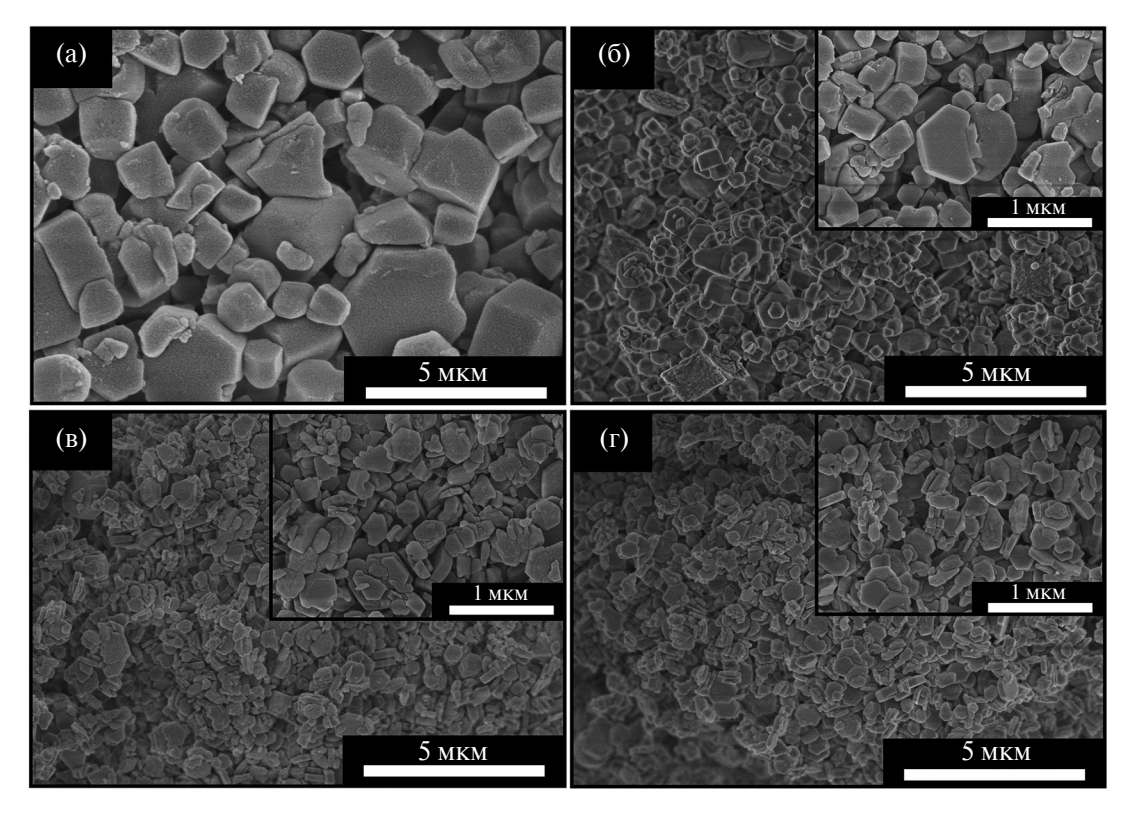
Изотермы адсорбции—десорбции азота и распределение пор по размерам для образцов

SAPO-5, синтезированных при различных значениях исходного соотношения  $SiO_2/Al_2O_3$  в реакционных гелях, представлены на рис. 3.

Анализ изотерм показывает, что образцы SAPO-5, полученные при низких значениях  $SiO_2/Al_2O_3$  ( $\leqslant 0.1$ ) (рис. 3a,6), демонстрируют типичную изотерму I типа с едва заметной петлей гистерезиса, характерную для микропористых материалов. Увеличение содержания кремния  $SiO_2/Al_2O_3 \geqslant 0.3$  приводит к изменению изотермы с образованием более выраженной петли гистерезиса, что указывает на формирование вторичной мезопористой структуры (рис.  $3b, \Gamma$ ).

Характеристики пористой структуры приведены в табл. 2.

Распределение пор по размерам свидетельствует о преобладании мезопор с размером от 2 до 50 нм. Формирование таких пор можно связать с развитием вторичной пористости, обусловленной частичным срастанием высокодисперсных кристаллов, как это видно на СЭМ-изображениях (см. рис. 2). Особенно высокую степень развития мезопористости демонстрирует образец



**Рис. 2.** Снимки СЭМ кристаллических молекулярных сит AFI, синтезированных при различных соотношениях  $SiO_2/Al_2O_3$ : AlPO<sub>4</sub>-5 (a), SAPO-5(0.1) (б), SAPO-5(0.3) (в), SAPO-5(0.5) (г).

**Таблица 2.** Характеристики пористой структуры кристаллических молекулярных сит AFI, синтезированных при различных соотношениях SiO<sub>2</sub>/Al<sub>2</sub>O<sub>3</sub>

Образец	$S_{ ext{b} ext{3} ext{T}},^a \  ext{M}^2 \  ext{\Gamma}^{-1}$	$S_{ m BH},^b$ $ m M^2~\Gamma^{-1}$	$V_{\text{микро}}$ , $^{c}$ $\mathbf{c}\mathbf{m}^{3}\mathbf{\Gamma}^{-1}$	$V_{\text{мезо}},^d$ $\text{см}^3 \Gamma^{-1}$
AlPO <sub>4</sub> -5	266	24	0.13	0.05
SAPO-5(0.1)	278	34	0.12	0.07
SAPO-5(0.3)	332	49	0.12	0.09
SAPO-5(0.5)	328	51	0.11	0.09

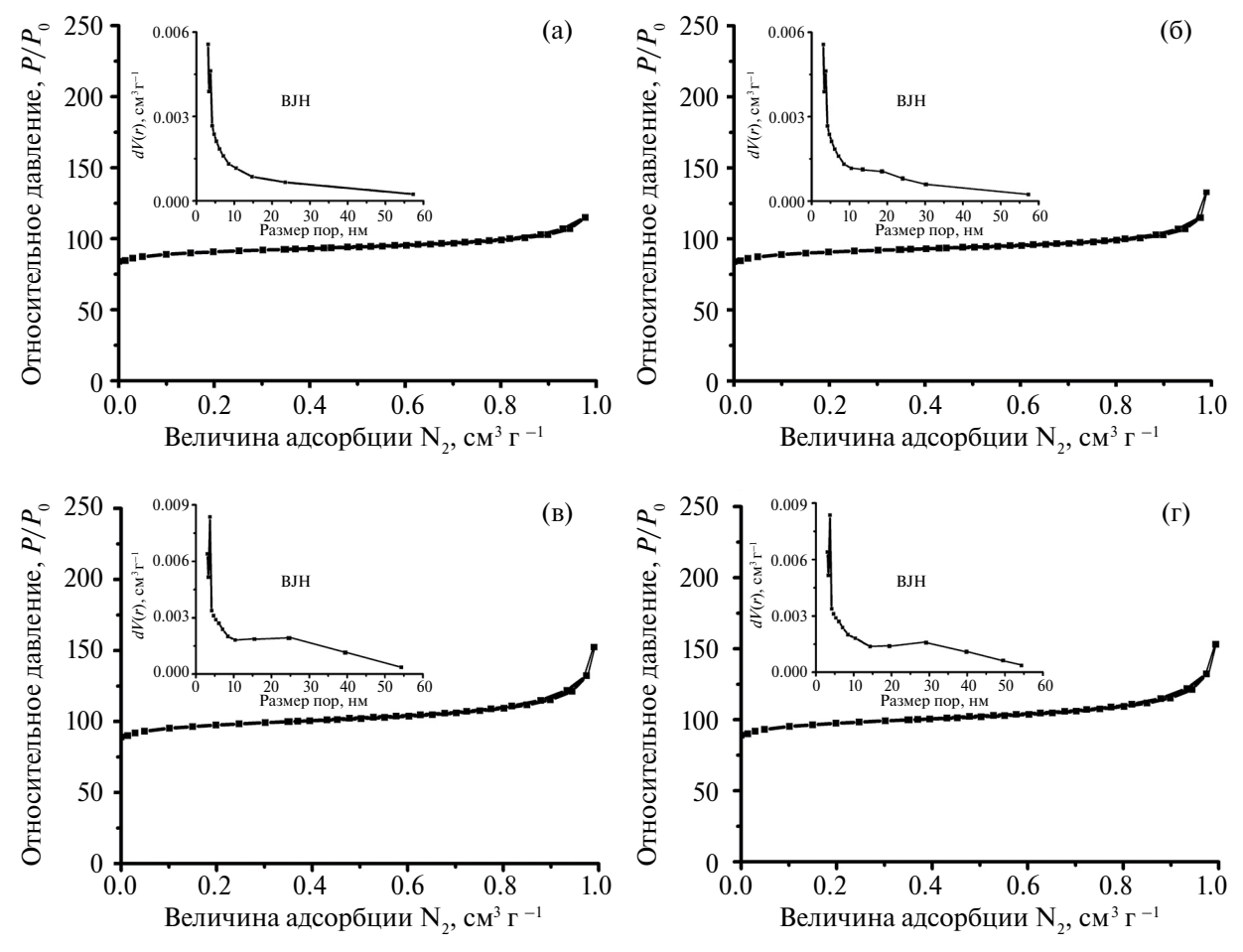
 $<sup>^</sup>aS_{\rm B3T}$  — удельная поверхность по БЭТ.  $^bS_{\rm BH}$  — внешняя удельная поверхность.  $^cV_{\rm микро}$  — удельный объем микропор.  $^dV_{\rm мезо}$  — удельный объем мезопор.

SAPO-5(0.5), обладающий наибольшей величиной внешней удельной поверхности  $51 \text{ m}^2 \text{ г}^{-1}$  и объемом мезопор  $0.09 \text{ см}^3 \text{ г}^{-1}$ . Эти параметры свидетельствуют о формировании иерархической пористости за счет самосборки мелких кристаллов в более крупные агрегаты. Напротив, образец  $\text{AlPO}_4$ -5, синтезированный без добавления кремния, имеет наименьшие значения внешней удельной поверхности ( $24 \text{ m}^2 \text{ г}^{-1}$ ) и объема мезопор ( $0.05 \text{ см}^3 \text{ г}^{-1}$ ), что связано с большими размерами кристаллов и отсутствием

межкристаллитной пористости. Данный факт подтверждает ключевую роль кремния в контроле морфологии кристаллов и организации вторичной пористой структуры.

Одной из ключевых особенностей SAPO-5 является наличие бренстедовских кислотных центров умеренной силы, локализованных в одномерной канальной системе, что делает этот материал уникальным в реакциях изомеризации и других процессах превращения углеводородов.

Данные ИК-спектроскопии адсорбированного пиридина (рис. 4) демонстрируют наличие полос поглощения при 1545 см-1 (бренстедовские кислотные центры) и 1455 см-1 (льюисовские кислотные центры). Полоса при 1490 см-1 отражает суммарный вклад обоих типов центров. Анализ интенсивности пиков позволяет сделать вывод, что концентрация кислотных центров (табл. 3) возрастает с увеличением содержания кремния до соотношения  $SiO_2/Al_2O_3 = 0.3$ . При еще большем увеличении содержания кремния рост кислотности замедляется, что согласуется с переходом от механизма SM2 к комбинированному механизму SM2 + SM3, когда кремний внедряется в виде "силикатных островков" и активные центры формируются преимущественно

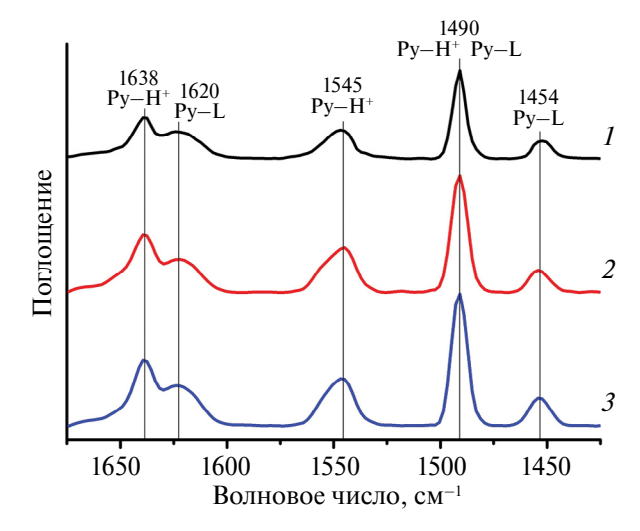


**Рис. 3.** Изотермы адсорбции—десорбции  $N_2$  и распределение пор по размеру (на вставках) для кристаллических молекулярных сит AFI, синтезированных при различных соотношениях  $SiO_2/Al_2O_3$ :  $AlPO_4$ -5 (a), SAPO-5(0.1) (б); SAPO-5(0.3) (в), SAPO-5(0.5) (г).

на их границах, тогда как центральные атомы кремния не принимают участия в создании кислотных центров.

Результаты термопрограммированной десорбции аммиака качественно подтверждают эти наблюдения. С ростом соотношения  $SiO_2/Al_2O_3$  с 0.3 до 0.5 усиливается вклад слабых кислотных центров, в то время как количество средних и сильных центров изменяется незначительно. Это указывает на то, что основное изменение кислотности происходит за счет модификации поверхностной среды и окружения каркасных дефектов.

Таким образом, установлено, что оптимальное соотношение  $SiO_2/Al_2O_3$  находится в области  $\sim 0.3$ , где концентрация кислотных центров близка к максимальной при сохранении высокой степени кристалличности (выше 90%) и развитой вторичной пористости. Такое сочетание характеристик делает данный состав наиболее перспективным



**Рис. 4.** ИК-спектры адсорбированного пиридина на образцах SAPO-5 после десорбции при 150°C: SAPO-5(0.1) (1), SAPO-5(0.3) (2), SAPO-5(0.5) (3).

для применения в каталитических процессах, требующих как высокой кислотности, так и хорошего массопереноса реагентов и продуктов.

05	Концентрация, $^a$ мкмоль г $^{-1}$		Концентрация, $^b$ мкмоль г $^{-1}$		
Образец	БКЦ	ЛКЦ <sup>d</sup>	Слабые	Средние	Сильные <sup>g</sup>
AlPO <sub>4</sub> -5	_	_	_	_	_
SAPO-5(0.1)	78	24	136	124	9
SAPO-5(0.3)	137	31	195	153	32
SAPO-5(0.5)	142	40	229	146	37

**Таблица 3.** Кислотные свойства AlPO $_4$ -5 и SAPO-5 по данным ИК-спектроскопии адсорбированного пиридина и  $T\Pi J-NH_3$ 

Образцы катализаторов на основе SAPO-5, содержащих 0.5 мас.% платины, были синтезированы методом пропитки с использованием раствора  $H_2PtCl_6$ . Как показано ранее [39], нанесение не менее 0.5 мас. % Pt на силикоалюмофосфатные носители обеспечивает достаточную концентрацию гидрирующе-дегидрирующих активных центров. В этом случае лимитирующей стадией процесса гидроизомеризации гексадекана становится превращение углеводородов на кислотных центрах силикоалюмофосфата.

Активность полученных катализаторов оценивали на примере реакции гидроизомеризации н-гексалекана. Установлено, что конверсия гексадекана при 280°C возрастает в последовательности:  $Pt/SAPO-5(0.1) \le Pt/SAPO-5(0.3) \le Pt/SAPO-5(0.5)$ (рис. 5а). Это напрямую связано с увеличением содержания кремния и, как следствие, ростом концентрации кислотных центров. При этом разница между SAPO-5(0.3) и SAPO-5(0.5) невелика — SAPO-5(0.5) проявляет лишь немного более высокую активность. Наиболее высокая активность Pt/SAPO-5(0.3) и SAPO-5(0.5) объясняется максимальной кислотностью, что способствует более эффективному протонированию алкильной цепи и инициации процесса изомеризации. Наблюдаемый незначительный рост активности в гидроконверсии гексадекана на Pt/SAPO-5 обусловлен малым увеличением содержания кремния и сопутствующим ростом количества кислотных центров. На образцах Pt/SAPO-5(0.3) и SAPO-5(0.5) достигается полная конверсия уже при 340°C, тогда для Pt/SAPO-5(0.1) степень превращения гексадекана при той же температуре заметно меньше.

Максимальный выход изомеров  $C_{16}$  (рис. 5б) в присутствии Pt/SAPO-5(0.5) оказывается слегка ниже, чем для Pt/SAPO-5(0.1) и Pt/SAPO-5(0.3), вероятно, вследствие развития побочных

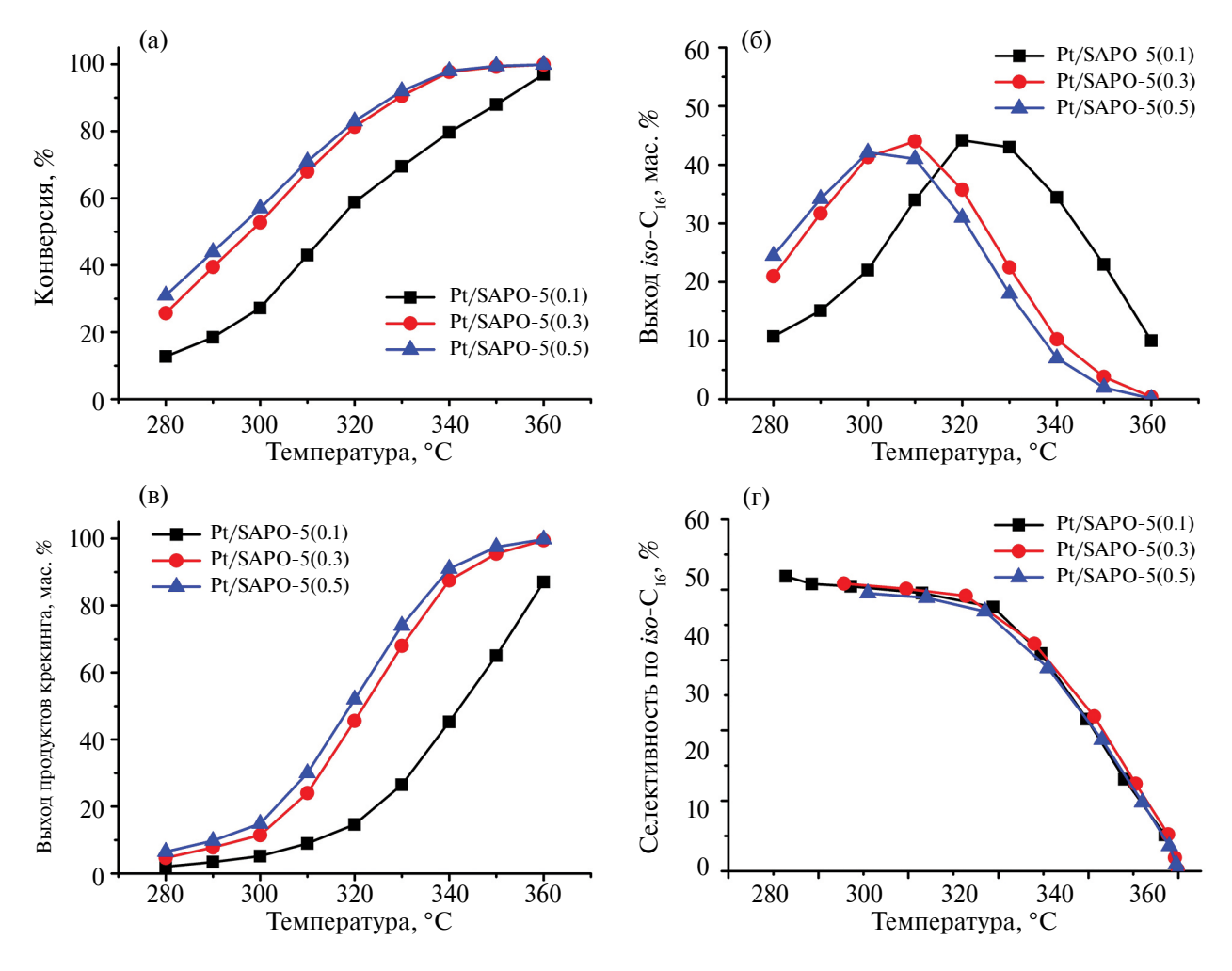
реакций (например, крекинга), которые начинают преобладать при высокой концентрации кислотных центров и температуре выше 300°C. Кроме того, снижение активности катализатора в реакции изомеризации может быть связано с увеличением диффузионных ограничений для реагирующих молекул, вызванных ухудшенными текстурными характеристиками образца катализатора Pt/SAPO-5(0.5) с более низкой кристалличности. Pt/SAPO-5(0.3) обеспечивает наиболее сбалансированное соотношение между кислотностью, текстурными характеристиками и контролем над вторичными превращениями. С ростом температуры реакции и концентрации кислотных центров в SAPO-5 наблюдается увеличение выхода побочных продуктов крекинга (рис. 5в).

Особенно важным является то, что селективность по изомерам гексадекана остается очень близкой для всех образцов (рис. 5г). Вероятно, это связано с крупными порами SAPO-5 (~0.8 нм), обеспечивающими свободный доступ как реагентов, так и продуктов к кислотным центрам. Стерические ограничения минимальны, поэтому изменения кислотности или текстурных характеристик материала не приводят к заметным изменениям селективности. Например, в случае SAPO-11 [32, 34], который имеет аналогичную одномерную систему каналов, но меньший диаметр пор (~0.56 нм), селективность становится более чувствительной к изменениям пористости и кислотности.

## ЗАКЛЮЧЕНИЕ

В ходе проведенного исследования установлено, что варьирование соотношения  $SiO_2/Al_2O_3$  в реакционном геле является эффективным

<sup>&</sup>lt;sup>a</sup> Концентрация кислотных центров, по данным ИК-спектроскопии адсорбированного пиридина. <sup>b</sup> Концентрация кислотных центров по данным ТПД-NН<sub>3</sub>. <sup>c</sup> БКЦ —бренстедовские кислотные центры.  $^{d}$ ЛКЦ — Льюисовские кислотные центры.  $^{c}$  Слабые — количество аммиака, десорбированного в диапазоне  $100-250^{\circ}$ С.  $^{f}$  Средние — количество аммиака, десорбированного в диапазоне  $250-400^{\circ}$ С.  $^{f}$  Сильные — количество аммиака, десорбированного в диапазоне  $400-600^{\circ}$ С.



**Рис. 5.** Гидроизомеризация n-гексадекана на Pt-содержащих образцах SAPO-5: (а) зависимость конверсии n-гексадекана от температуры реакции; (б) зависимость выхода изомеров  $C_{16}$  от температуры реакции; (в) зависимость выхода продуктов крекинга от температуры реакции; (г) зависимость селективности образования изомеров гексадекана от конверсии n-гексадекана.

инструментом управления структурными, текстурными и кислотными характеристиками молекулярных сит SAPO-5. Показано, что при низких значениях  $SiO_2/Al_2O_3$  ( $\leqslant 0.1$ ) формируется микропористая структура, а при увеличении содержания кремния ( $\geqslant 0.3$ ) иерархическая микро- и мезопористость развивается за счет уменьшения размера кристаллов (с 1-3 мкм до 200-300 нм) и их самосборки в агрегаты, что подтверждается высокой внешней удельной поверхностью (49-51 м² г $^{-1}$ ) и объемом мезопор (0.05 см $^3$  г $^{-1}$ ) в образцах SAPO-5(0.3) и SAPO-5(0.5).

ИК-спектроскопия адсорбированного пиридина и ТПД- $NH_3$  показали, что концентрация кислотных центров в SAPO-5 возрастает с увеличением соотношения  $SiO_2/Al_2O_3$  до 0.3, после чего рост замедляется из-за перехода к механизму SM2 + SM3 и образования "силикатных

островков", приводящему к изменению распределения кислотности на поверхности.

Оптимальные каталитические свойства в реакции гидроизомеризации *н*-гексадекана демонстрирует бифункциональный образец Pt/SAPO-5(0.3), характеризующийся высокой кислотностью, развитой мезопористостью и высокой дисперсностью. Данный катализатор обеспечивает полную конверсию при 340°C с максимальным выходом изомеров (до 45%) и минимальным содержанием продуктов крекинга.

Полученные результаты имеют важное значение для разработки высокоэффективных катализаторов процессов нефтепереработки, таких как изомеризация длинноцепочечных парафинов. Предложенный подход к контролю свойств SAPO-5 через состав реакционного геля открывает

перспективы для создания каталитических систем с заданными характеристиками.

## БЛАГОДАРНОСТЬ

Исследование инициировано при поддержке члена-корреспондента РАН У.М. Джемилева, которому авторы выражают глубокую признательность и благодарность за профессиональное руководство и всестороннее содействие.

### ИСТОЧНИК ФИНАНСИРОВАНИЯ

Работа выполнена в рамках государственного задания ИНК УФИЦ РАН (тема №FMRS-2024-0012 "Молекулярно-ситовые бифункциональные каталитические системы получения низкозастывающих дизельных топлив").

# КОНФЛИКТ ИНТЕРЕСОВ

Авторы заявляют об отсутствии конфликта интересов, требующего раскрытия в данной статье.

## СПИСОК ЛИТЕРАТУРЫ

- Potter M.E. // ACS Catal. 2020. № 10. P. 9758–9789. https://doi.org/10.1021/acscatal.0c02278
- Hartmann M., Elangovan S.P. // Adv. Nanoporous Mater. 2010. V. 1. P. 237–312. https://doi.org/10.1016/S1878-7959(09)00104-2
- 3. *Aljajan Y., Stytsenko V., Rubtsova M., Glotov A.* // Catalysts. 2023. № 13. P. 1363. https://doi.org/10.3390/catal13101363
- Wang Q., Zhang W., Ma X., Liu Y., Zhang L., Zheng J., Wang Y., Li W., Fan B., Li R. // Fuel. 2023. V. 331. P. 125935. https://doi.org/10.1016/j.fuel.2022.125935
- 5. *Baerlocher C., McCusker L.B., Olson D.H.* Atlas of zeolite framework types. AMS, Elsevier, 2007. 404 p.
- 6. Potter M.E., Kezina J., Bounds R., Carravetta M., Mezza T.M., Raja R. // Catal. Sci. Technol. 2018. V. 8. № 20. P. 5155–5164. https://doi.org/10.1039/C8CY01370E
- 7. Potter M.E., Cholerton M.E., Kezina J., Bounds R., Carravetta M., Manzoli M., Gianotti E., Lefenfeld M., Raja R. // ACS Catal. 2014. V. 4. № 11. P. 4161–4169. https://doi.org/10.1021/cs501092b
- 8. Potter M.E., O'Malley A.J., Chapman S., Kezina J., Newland S.H, Silverwood I.P. // ACS Catal. 2017. V. 7. № 4. P. 2926—2934. https://doi.org/10.1021/acscatal.6b03641
- Jadav D., Bandyopadhyay R., Tsunoji N., Sadakane M., Bandyopadhyay M. // Mater. Today: Proc. 2021. V. 45. P. 3726–3732. https://doi.org/10.1016/j.matpr.2020.12.986
- 10. *Qi J.*, *Jin Q.*, *Zhao K.*, *Zhao T.* // J. Porous Mater. 2015. V. 22. P. 1021–1032. https://doi.org/10.1007/s10934-015-9976-y
- Danilina N., Krumeich F., Van Bokhoven J.A. // J. Catal. 2010. V. 272. P. 37–43. https://doi.org/10.1016/j.jcat.2010.03.014

- 12. *Terasaka K., Imai H., Li X.* // J. Adv. Chem. Eng. 2015. V. 5. № 4. 1000138. https://doi.org/10.4172/2090-4568.1000138
- 13. Wang L., Guo C., Yan S., Huang X., Li Q. // Microporous Mesoporous Mater. 2003. V. 64. P. 63–68. https://doi.org/10.1016/S1387-1811(03)00482-7
- 14. Roldán R., Sánchez-Sánchez M., Sankar G., Romero-Salguero F.J., Jiménez-Sanchidrián C. // Microporous Mesoporous Mater. 2007. V. 99. P. 288–298. https://doi.org/10.1016/j.micromeso.2006.09.035
- 15. Newland S.H., Sinkler W., Mezza T., Bare S.R., Carravetta M., Haies I.M., Levy A., Keenan S., Raja R. // ACS Catal. 2015. V. 5. P. 6587–6593. https://doi.org/10.1021/acscatal.5b01595
- Westgård Erichsen M., Svelle S., Olsbye U. // J. Catal. 2013. V. 298. P. 94–101. https://doi.org/10.1016/j.jcat.2012.11.004
- 17. *Qiu L., Zhou Z., Yu Y., Zhang H., Qian Y., Yang Y., Duo S.* // Res. Chem. Intermed. 2019. V. 45. P. 1457—73. https://doi.org/10.1007/s11164-018-3675-7
- Zhu S., Liang S., Wang Y., Zhang X., Li F., Lin H., Zhang Z., Wang X. // Appl. Catal., B. 2016. V. 187. P. 11–18. https://doi.org/10.1016/j.apcatb.2016.01.002
- 19. Al-Anazi A., Bellahwel O.C.K., Kavitha C., Abu-Dahrieh J., Ibrahim A.A., Santhosh S., Abasaeed A.E., Fakeeha A.H., Al-Fatesh A.S. // Catalysts. 2024. V. 15. № 5. P. 316. https://doi.org/10.3390/catal14050316
- Kang L., Xu B., Li P., Wang K., Chen J., Du H., Liu Q., Zhang L., Lian X. // Nanomaterials. 2025. V. 15. P. 366. https://doi.org/10.3390/nano15050366
- 21. *Martin C., Tosi-Pellenq N., Patarin J., Coulomb J.P.* // Langmuir. 1998. V. 14. P. 1774—1778. https://doi.org/10.1021/la960755c
- 22. Singh A.K., Yadav R., Sudarsan V., Kishore K., Upadhyayula S., Sakthivel A. // RSC Adv. 2014. V. 4. P. 8727–8734. https://doi.org/10.1039/C3RA47298A
- 23. *Hu E., Derebe A.T., Almansoori A., Wang K.* // Int. J. Mater. Sci. Eng. 2014. V. 2. № 1. P. 10–14. https://doi.org/10.12720/ijmse.2.1.10-14
- Cho K., Kim S.K., Lee E.K., Kim J.-N. // J. Nanosci. Nanotechnol. 2017. V. 17. P. 5869–5877. https://doi.org/10.1166/jnn.2017.13838
- 25. *Hu E., Lai Z., Wang K.* // J. Chem. Eng. Data. 2010. V. 55. P. 3286–3289. https://doi.org/10.1021/je100093u
- 26. *Xiao T., An L., Wang H. //* Appl. Catal., A. 1995. V. 130. P. 187–194. https://doi.org/10.1016/0926-860X(95)00107-7
- Basina G., AlShami D., Polychronopoulou K., Tzitzios V., Balasubramanian V., Dawaymeh F., Karanikolos G.N., Al Wahedi Y. // Surf. Coat. Technol. 2018. V. 353. P. 378–386.
  - https://doi.org/10.1016/j.surfcoat.2018.08.083
- 28. *Barthomeuf D.* // Zeolites. 1994. V. 14. P. 394–401. https://doi.org/10.1016/0144-2449(94)90164-3
- 29. Danilina N., Castelanelli S.A., Troussard E., van Bokhoven J.A. // Catal. Today. 2011. V. 168. P. 80–85. https://doi.org/10.1016/j.cattod.2011.01.042

- 30. Ali D., Zeiger C.R., Azim M.M., Lein H.L., Mathisen K. // Microporous Mesoporous Mater. 2020. V. 306. P. 110364. https://doi.org/10.1016/j.micromeso.2020.110364
- 31. Ostrowski A., Jankowska A., Tabero A., Janiszewska E., Kowalak S. // Molecules. 2023. V. 28. P. 7312. https://doi.org/10.3390/molecules28217312
- 32. Serebrennikov D.V., Zabirov A.R., Saliev A.N., Yakovenko R.E., Prosochkina T.R., Fayzullina Z.R., Guskov V.Yu., Kutepov B.I., Agliullin M.R. // Gels. 2024. V. 10. P. 792. https://doi.org/10.3390/gels10120792
- 33. Serebrennikov D., Vlasov M., Travkina O., Filippova N., Mescheryakova E., Kuvatova R., Sabirov D., Agliullin M.R. // Chim. Tech. Acta. 2025. V. 12. № 3. 12301. P. 8676. https://doi.org/10.15826/chimtech.2025.12.3.01
- 34. Serebrennikov D.V., Zabirov A.R., Kuvatova R.Z., Bagdanova D.O., Malunov A.I., Dement'ev K.I., Agliullin M.R. // Petrol. Chem. 2024. V. 64. P. 1276—1285. https://doi.org/10.1134/S0965544124080188

- 35. Serebrennikov D.V., Zabirov A.R., Kuvatova R.Z., Bagdanova D.O., Malunov A.I., Travkina O.S., Kutepov B.I., Agliullin M.R. // Petrol. Chem. 2024. V. 64. P. 1122–1129. https://doi.org/10.1134/S0965544124060197
- Agliullin M.R., Arzumanov S.S., Gerasimov E. Yu., Grigorieva N.G., Bikbaeva V.R., Serebrennikov D.V., Khalilov L.M., Kutepov B.I. // CrystEngComm. 2023. V. 25. P. 3096–3107. https://doi.org/10.1039/D3CE00278K
- Tamura M., Shimizu K., Satsuma A. // Appl. Catal., A. 2012. V. 433–434. P. 135–145. https://doi.org/10.1016/j.apcata.2012.05.008
- Pastore H.O., Coluccia S., Marchese L. // Annu. Rev. Mater. Res. 2005. V. 35. P. 351–395. https://doi.org/10.1146/annurev.matsci.35.103103.120732
- Höchtl M., Jentys A., Vinek H. // J. Catal. 2000. V. 190.
   P. 419–332.
   https://doi.org/10.1006/jcat.1999.2761

Dedicated to the jubilee of Usein M. Dzhemilev, Corresponding Member of the RAS

# CRYSTALLIZATION OF THE SILICOALUMOPHOSPHATE MOLECULAR SIEVE SAPO-5 FROM REACTION GELS WITH DIFFERENT SiO<sub>2</sub>/Al<sub>2</sub>O<sub>3</sub> RATIOS AND ITS APPLICATION IN HYDROISOMERIZATION OF *n*-HEXADECANE

D. V. Serebrennikov<sup>a,#</sup>, N. A. Filippova<sup>a</sup>, A. I. Malunov<sup>a</sup>, R. Z. Kuvatova<sup>a</sup>, O. S. Travkina<sup>a</sup>, B. I. Kutepov<sup>a</sup>, M. R. Agliullin<sup>a</sup>

<sup>a</sup>Institute of Petrochemistry and Catalysis, Ufa Federal Research Centre of the Russian Academy of Sciences, 450054 Ufa, Russian Federation

#E-mail: d25c25@yandex.ru

Microporous silicoaluminophosphate molecular sieves SAPO-5 are considered promising acidic catalysts for hydrocarbon conversion processes. However, their catalytic performance is hindered by diffusion limitations, which can be mitigated by reducing crystal size and fine-tuning the acidic properties. The effect of the initial  $SiO_2/Al_2O_3$  ratio in the synthesis gel on the structural and acidic features of SAPO-5 was investigated using XPS, XRD, SEM,  $N_2$  adsorption—desorption,  $NH_3$ -TPD, and IR spectroscopy. An increase in silicon content was found to decrease crystal size and enhance the external surface area. The concentration of Brønsted acid sites reaches a maximum, suggesting limited Si incorporation into the framework. In the hydroisomerization of n-hexadecane, the highest catalytic activity and selectivity towards isoparaffins were observed for the SAPO-5 sample with the smallest crystals and the highest acidity. These findings demonstrate that the structural and acidic properties of SAPO-5 can be effectively controlled through adjustment of the synthesis gel composition.

Keywords: molecular sieves, silicoaluminophosphate SAPO-5, nanosized crystals, hydroisomerization of n-paraffins